

第五章 连续时间系统的复频域分析

§ 5.1 引言

➤ 傅里叶变换的优点：

- (1) 避免了卷积运算，简化了响应的求解过程；
- (2) 物理意义明确，引入了谐波、频响等概念。

➤ 傅里叶变换的缺点：

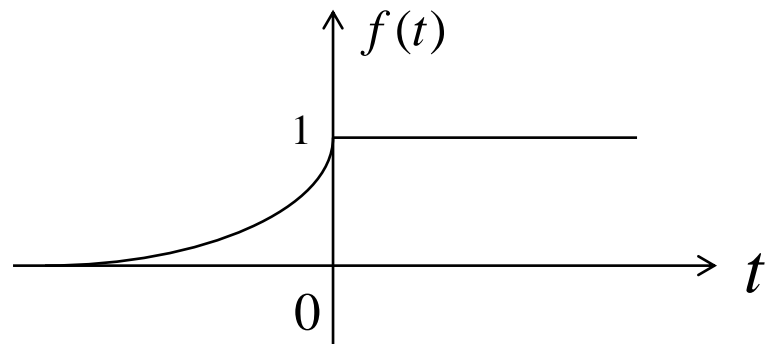
- (1) 只能处理满足收敛条件的信号，对不满足收敛条件的信号，必须使用奇异函数，不方便；
- (2) 需要使用傅里叶反变换，广义积分 $\int_{-\infty}^{\infty} () dx$ 有时计算很困难。

- 复频域分析法就是**拉普拉斯变换(拉氏变换)分析法**：将激励信号分解为**变幅的正弦信号加权和**的形式，分别讨论**每个信号单独作用**到系统中的响应，**最后叠加**得到激励信号作用到系统中的总响应。
- 其优点在于：
 - (1) 将**微积分**运算转换为**乘除法**运算；
 - (2) 将**卷积的**运算转换为**乘积的**运算；
 - (3) 比傅里叶变换的适用范围**更广泛**。

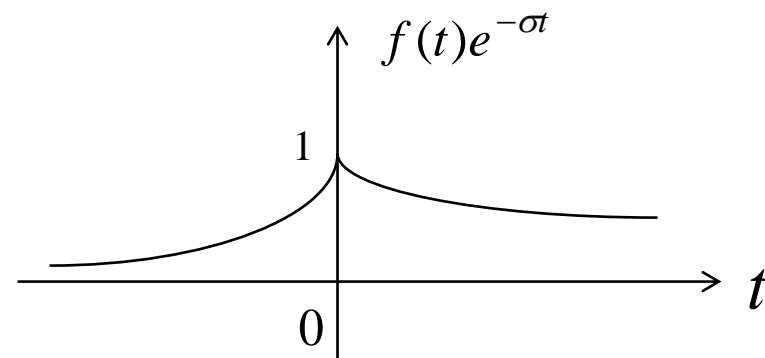
§ 5.2 拉普拉斯变换

若信号本身**不满足**绝对可积条件，其傅里叶变换就**不存在**。为使信号收敛，用**收敛因子** $e^{-\sigma t}$ 去乘 $f(t)$ 。例如：

$$f(t) = \begin{cases} 1 & t > 0 \\ e^{\beta t} & t < 0 \end{cases}$$



$$f(t)e^{-\sigma t} = \begin{cases} e^{-\sigma t} & t > 0 \\ e^{\beta t} e^{-\sigma t} & t < 0 \end{cases}$$



只要 $0 < \sigma < \beta$ ，则 $f(t)e^{-\sigma t}$ 就**双向收敛**。

$$F.T.\{f(t)e^{-\sigma t}\} = \int_{-\infty}^{\infty} f(t)e^{-\sigma t}e^{-j\omega t}dt = \int_{-\infty}^{\infty} f(t)e^{-(\sigma+j\omega)t}dt$$

$$\text{令 } s = \sigma + j\omega, \text{ 则有 } F_d(s) = \int_{-\infty}^{\infty} f(t)e^{-st}dt$$

此式称为**双边拉普拉斯正变换式** (Double-sided Laplace transform, L.T.)，或称为广义的傅里叶变换。

根据傅里叶反变换的定义可得：

$$I.F.T.\{F_d(s)\} = f(t)e^{-\sigma t} = \frac{1}{2\pi} \int_{-\infty}^{\infty} F_d(s)e^{j\omega t}d\omega$$

$$f(t) = \frac{1}{2\pi} \int_{-\infty}^{\infty} F_d(s)e^{\sigma t}e^{j\omega t}d\omega = \frac{1}{2\pi} \int_{-\infty}^{\infty} F_d(s)e^{(\sigma+j\omega)t}d\omega = \frac{1}{2\pi} \int_{-\infty}^{\infty} F_d(s)e^{st}d\omega$$

因为 $s = \sigma + j\omega$ ，故 $d\omega = \frac{1}{j}ds$ ，且积分限为 $s: \sigma - j\infty \sim \sigma + j\infty$

$$f(t) = \frac{1}{2\pi j} \int_{\sigma-j\infty}^{\sigma+j\infty} F_d(s)e^{st}ds$$

此式称为**双边拉普拉斯反变换式** (Inverse Laplace transform, I. L.T.)。

实际工程中，绝大多数的激励信号都是因果信号，故研究的重点是**单边拉普拉斯变换** (Single-sided Laplace transform)：

单边拉普拉斯正变换

$$F(s) = \mathcal{L}\{f(t)\} = \int_{0^-}^{\infty} f(t)e^{-st} dt$$

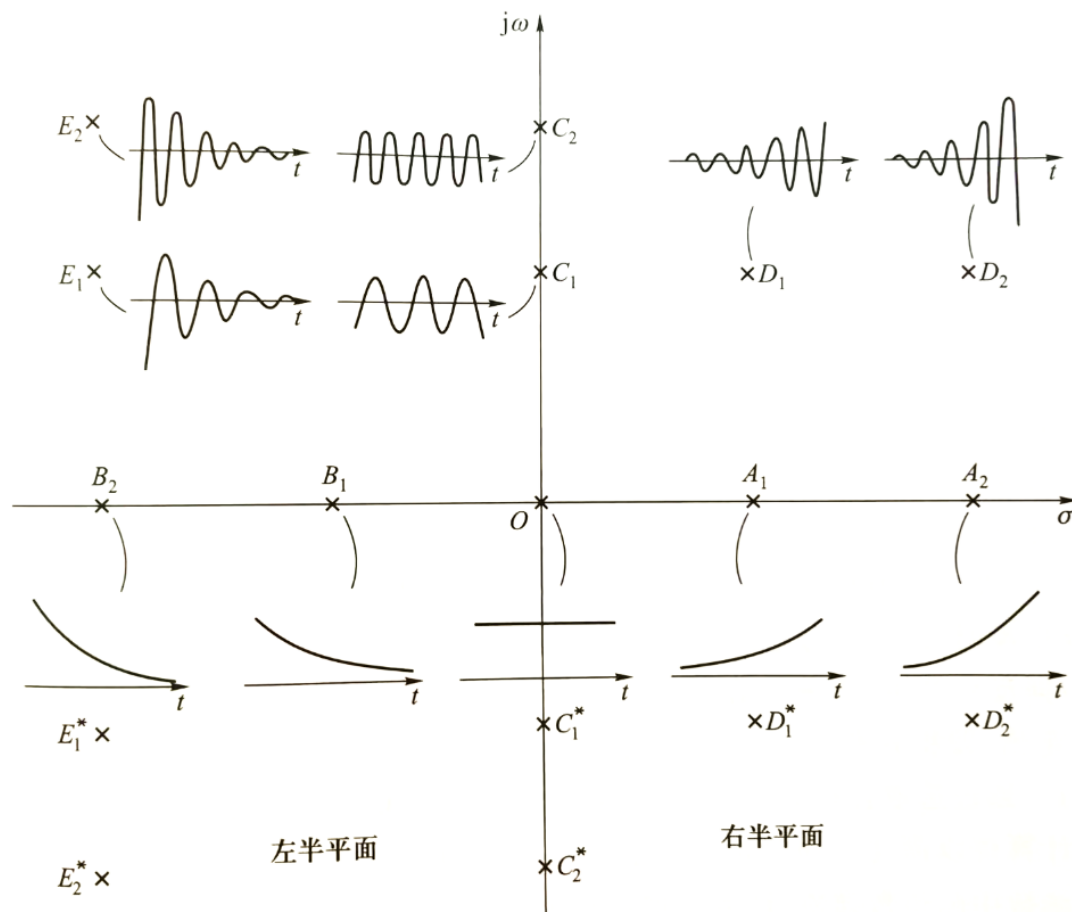
单边拉普拉斯反变换

$$f(t) = \mathcal{L}^{-1}\{F(s)\} = \left[\frac{1}{2\pi j} \int_{\sigma-j\infty}^{\sigma+j\infty} F(s)e^{st} ds \right] \varepsilon(t)$$

原函数 $f(t) \leftrightarrow$ 象函数 $F(s)$

s 称为信号的复频率 (Complex frequency)， $F(s)$ 可以看作是信号的复频谱 (Complex frequency spectrum)。

变幅的余弦信号 $e^{\sigma t} \cos \omega t = \frac{1}{2} e^{(\sigma+j\omega)t} + \frac{1}{2} e^{(\sigma-j\omega)t}$



复平面/ s 平面上不同复频率所对应的的时间函数变化模式图

§ 5.3 拉普拉斯变换的收敛域/收敛区

- 信号 $f(t)$ 与收敛因子 $e^{-\sigma t}$ 相乘后是否收敛，取决于两个因素：
 - (1) 信号 $f(t)$ 本身的收敛性；
 - (2) 收敛因子中 σ 的取值范围。
- 将能够使 $f(t)e^{-\sigma t}$ 满足绝对可积的 σ 的取值范围称为信号 $f(t)$ 拉普拉斯变换的收敛域/收敛区 (Region of convergence)。
- 显然，只有在收敛域内，信号的拉普拉斯变换才存在。在收敛域外，信号的拉普拉斯变换不存在。

➤ 单边拉普拉斯变换存在的条件是：信号 $f(t)e^{-\sigma t}$ 满足**绝对可积**，也就是要求 $f(t)$ 是**指数阶函数**且**分段连续**。

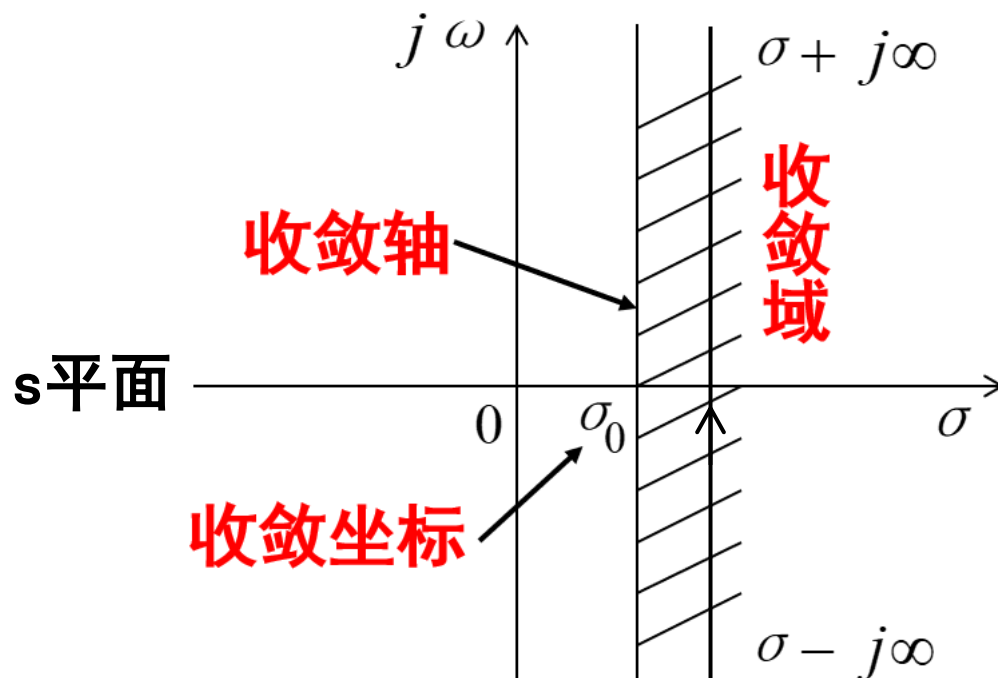
➤ 指数阶函数：存在一个**常数** σ_0 ，使得 $f(t)e^{-\sigma t}$ 在 $\sigma > \sigma_0$ 的范围内**有界**，且当 $t \rightarrow \infty$ 时， $f(t)e^{-\sigma t}$ 的**极限值趋于零**，即

$$\lim_{t \rightarrow \infty} f(t)e^{-\sigma t} = 0, \quad \sigma > \sigma_0$$

➤ 分段连续：除了**有限个间断点**外，函数 $f(t)$ 都是**连续的**，且间断点处 $f(t)$ 的**极限值是有限**的。

➤ 此条件只是**充分条件**，而非**必要条件**。

单边拉普拉斯变换的收敛域为 $\sigma > \sigma_0$



注意：单边拉普拉斯变换的收敛域不包含收敛轴。

实际工程中，大多数信号都是指数阶信号且分段连续，因此这些信号的单边拉氏变换都存在，所不同的是收敛域不同。

例：求下列信号单边拉普拉斯变换的收敛域。

$$(1) f(t) = \varepsilon(t); \quad (2) f(t) = \varepsilon(t) - \varepsilon(t - \tau)$$

解：(1) 根据单边拉普拉斯变换收敛域的判别条件，有

$$\lim_{t \rightarrow \infty} f(t)e^{-\sigma t} = \lim_{t \rightarrow \infty} \varepsilon(t)e^{-\sigma t} = 0$$

当 $\sigma > 0$ 时，上式成立。故其收敛域为 $\sigma > 0$ 。

(2) 根据单边拉普拉斯变换收敛域的判别条件，有

$$\lim_{t \rightarrow \infty} f(t)e^{-\sigma t} = \lim_{t \rightarrow \infty} [\varepsilon(t) - \varepsilon(t - \tau)]e^{-\sigma t} = 0$$

σ 取任意值时，上式均成立，故其收敛域为整个s平面。

§ 5.4 常用函数的拉普拉斯变换

- 当信号 $f(t)$ 满足绝对可积条件时，其傅里叶变换与其拉普拉斯变换有简单的互换关系：

$$F(s) = F(j\omega)|_{j\omega=s}, \quad F(j\omega) = F(s)|_{s=j\omega}$$

- 当信号 $f(t)$ 不满足绝对可积条件时，其傅里叶变换不存在，其拉普拉斯变换需要用定义式求解。

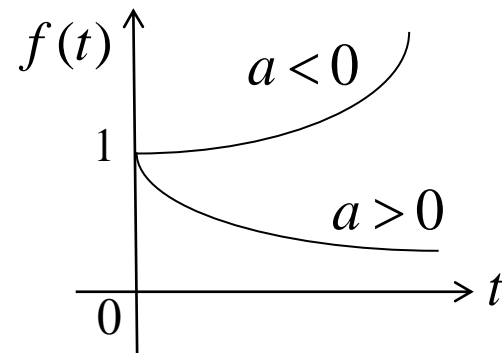
$$F(s) = L.T.\{f(t)\} = \int_{0^-}^{\infty} f(t)e^{-st} dt$$

- 实际工程应用中，比较常见的两类信号是(1) t 的指数函数和(2) t 的正整数幂函数。这两类信号的拉普拉斯变换是关注的重点。

一、单边指数函数

$$f(t) = e^{-\alpha t} \varepsilon(t), \alpha \text{ 为常数}$$

$$\begin{aligned} F(s) &= L.T.\{e^{-\alpha t} \varepsilon(t)\} = \int_{0^-}^{\infty} e^{-\alpha t} \varepsilon(t) e^{-st} dt = \int_0^{\infty} e^{-(s+\alpha)t} dt \\ &= -\frac{1}{s+\alpha} e^{-(s+\alpha)t} \Big|_0^{\infty} = \frac{1}{s+\alpha} \end{aligned}$$

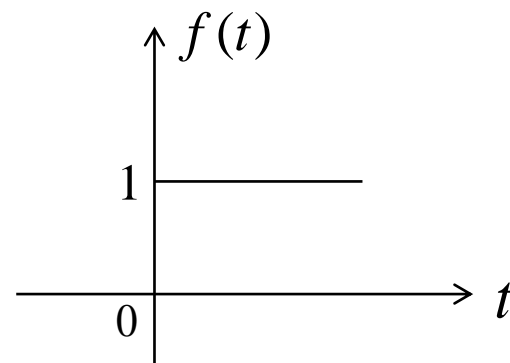


收敛域: $\lim_{t \rightarrow \infty} f(t) e^{-\sigma t} = \lim_{t \rightarrow \infty} e^{-\alpha t} \varepsilon(t) e^{-\sigma t} = \lim_{t \rightarrow \infty} \varepsilon(t) e^{-(\sigma+\alpha)t} = 0 \longrightarrow \sigma > -\alpha$

1. 单位阶跃函数

$$f(t) = \varepsilon(t) = e^{-\alpha t} \varepsilon(t) \Big|_{\alpha=0} \quad F(s) = L.T.\{\varepsilon(t)\} = \frac{1}{s}$$

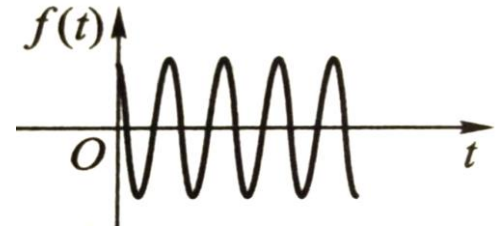
收敛域: $\lim_{t \rightarrow \infty} f(t) e^{-\sigma t} = \lim_{t \rightarrow \infty} \varepsilon(t) e^{-\sigma t} = 0 \longrightarrow \sigma > 0$



2. 单边余弦函数

$$f(t) = \cos \omega t \varepsilon(t) = \frac{1}{2} (e^{j\omega t} + e^{-j\omega t}) \varepsilon(t)$$

$$F(s) = L.T. \{ \cos \omega t \varepsilon(t) \} = \frac{1}{2} \left(\frac{1}{s - j\omega} + \frac{1}{s + j\omega} \right) = \frac{s}{s^2 + \omega^2}$$

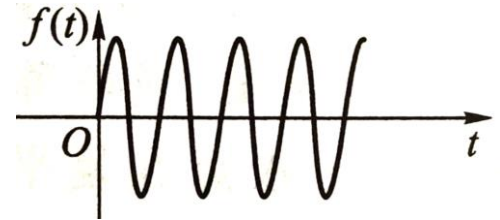


收敛域: $\lim_{t \rightarrow \infty} f(t)e^{-\sigma t} = \lim_{t \rightarrow \infty} \cos \omega t \varepsilon(t)e^{-\sigma t} = 0 \quad \longrightarrow \quad \sigma > 0$

3. 单边正弦函数

$$f(t) = \sin \omega t \varepsilon(t) = \frac{1}{2j} (e^{j\omega t} - e^{-j\omega t}) \varepsilon(t)$$

$$F(s) = L.T. \{ \sin \omega t \varepsilon(t) \} = \frac{1}{2j} \left(\frac{1}{s - j\omega} - \frac{1}{s + j\omega} \right) = \frac{\omega}{s^2 + \omega^2}$$



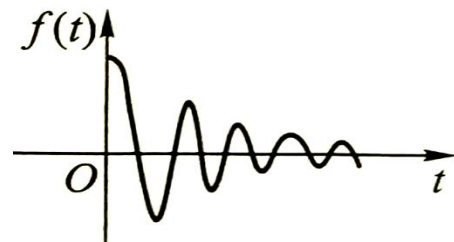
收敛域: $\lim_{t \rightarrow \infty} f(t)e^{-\sigma t} = \lim_{t \rightarrow \infty} \sin \omega t \varepsilon(t)e^{-\sigma t} = 0 \quad \longrightarrow \quad \sigma > 0$

4. 单边衰减余弦函数

$$f(t) = e^{-\alpha t} \cos \omega t \varepsilon(t), \quad \alpha > 0$$

$$f(t) = e^{-\alpha t} \cos \omega t \varepsilon(t) = \frac{1}{2} [e^{-(\alpha-j\omega)t} + e^{-(\alpha+j\omega)t}] \varepsilon(t)$$

$$F(s) = L.T.\{e^{-\alpha t} \cos \omega t \varepsilon(t)\} = \frac{1}{2} \left[\frac{1}{s + (\alpha - j\omega)} + \frac{1}{s + (\alpha + j\omega)} \right] = \frac{s + \alpha}{(s + \alpha)^2 + \omega^2}$$



收敛域: $\lim_{t \rightarrow \infty} f(t)e^{-\sigma t} = \lim_{t \rightarrow \infty} e^{-\alpha t} \cos \omega t \varepsilon(t)e^{-\sigma t} = \lim_{t \rightarrow \infty} \cos \omega t \varepsilon(t)e^{-(\sigma+\alpha)t} = 0$

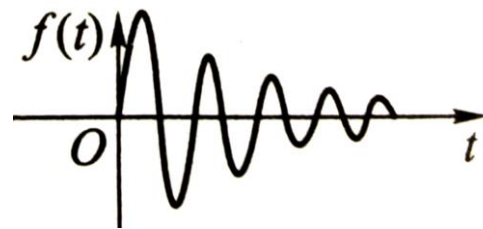
$\longrightarrow \sigma > -\alpha$

5. 单边衰减正弦函数

$$f(t) = e^{-\alpha t} \sin \omega t \varepsilon(t), \quad \alpha > 0$$

$$f(t) = e^{-\alpha t} \sin \omega t \varepsilon(t) = \frac{1}{2j} [e^{-(\alpha-j\omega)t} - e^{-(\alpha+j\omega)t}] \varepsilon(t)$$

$$F(s) = L.T.\{e^{-\alpha t} \sin \omega t \varepsilon(t)\} = \frac{1}{2j} \left[\frac{1}{s + (\alpha - j\omega)} - \frac{1}{s + (\alpha + j\omega)} \right] = \frac{\omega}{(s + \alpha)^2 + \omega^2}$$



收敛域: $\lim_{t \rightarrow \infty} f(t)e^{-\sigma t} = \lim_{t \rightarrow \infty} e^{-\alpha t} \sin \omega t \varepsilon(t)e^{-\sigma t} = \lim_{t \rightarrow \infty} \sin \omega t \varepsilon(t)e^{-(\sigma+\alpha)t} = 0$

$\longrightarrow \sigma > -\alpha$

二、t的正整数幂函数

$f(t) = t^n \varepsilon(t)$, n 为正整数

$$\begin{aligned} F(s) &= L.T.\{t^n \varepsilon(t)\} = \int_{0^-}^{\infty} t^n \varepsilon(t) e^{-st} dt = \int_0^{\infty} t^n e^{-st} dt \\ &= -\frac{t^n}{s} e^{-st} \Big|_0^{\infty} + \frac{n}{s} \int_0^{\infty} t^{n-1} e^{-st} dt \\ &= \frac{n}{s} \int_0^{\infty} t^{n-1} e^{-st} dt = \frac{n}{s} L.T.\{t^{n-1} \varepsilon(t)\} \end{aligned}$$

以此类推可得

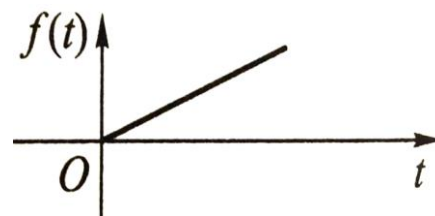
$$\begin{aligned} L.T.\{t^n \varepsilon(t)\} &= \frac{n}{s} L.T.\{t^{n-1} \varepsilon(t)\} = \frac{n}{s} \cdot \frac{n-1}{s} L.T.\{t^{n-2} \varepsilon(t)\} \\ &= \frac{n}{s} \cdot \frac{n-1}{s} \cdot \frac{n-2}{s} \cdots \frac{1}{s} L.T.\{\varepsilon(t)\} \\ &= \frac{n}{s} \cdot \frac{n-1}{s} \cdot \frac{n-2}{s} \cdots \frac{1}{s} \cdot \frac{1}{s} = \frac{n!}{s^{n+1}} \end{aligned}$$

收敛域: $\lim_{t \rightarrow \infty} f(t) e^{-\sigma t} = \lim_{t \rightarrow \infty} t^n \varepsilon(t) e^{-\sigma t} = \lim_{t \rightarrow \infty} \varepsilon(t) \frac{t^n}{e^{\sigma t}} = \lim_{t \rightarrow \infty} \frac{n!}{\sigma^n e^{\sigma t}} = 0$

 $\sigma > 0$

$$t^n \varepsilon(t) \leftrightarrow \frac{n!}{s^{n+1}}$$

当 $n = 1$ 时, 有 $t\varepsilon(t) \leftrightarrow \frac{1!}{s^{1+1}} = \frac{1}{s^2}$



当 $n = 2$ 时, 有 $t^2\varepsilon(t) \leftrightarrow \frac{2!}{s^{2+1}} = \frac{2}{s^3}$



三、冲激函数

$$f(t) = \delta(t)$$

$$F(s) = L.T.\{\delta(t)\} = \int_{0^-}^{\infty} \delta(t)e^{-st}dt = \int_0^{\infty} \delta(t)e^{-st}dt = e^0 = 1$$

收敛域: $\lim_{t \rightarrow \infty} f(t)e^{-\sigma t} = \lim_{t \rightarrow \infty} \delta(t)e^{-\sigma t} = \lim_{t \rightarrow \infty} \delta(t)e^{-\sigma \cdot 0} = 0$

→ σ 可以取任意值, 收敛域为整个 s 平面

§ 5.5 拉普拉斯反变换的计算

- 通常情况下，拉普拉斯变换后得到的 $F(s)$ 都是有理函数。所以，求解拉普拉斯反变换可以采用部分分式展开法。
- 因为 $F(s)$ 是有理函数，故可表示为两个 s 的多项式之比，即

$$F(s) = \frac{N(s)}{D(s)} = \frac{b_m s^m + b_{m-1} s^{m-1} + \cdots + b_1 s + b_0}{s^n + a_{n-1} s^{n-1} + \cdots + a_1 s + a_0}$$

其中 a 和 b 为常数， m 和 n 为正整数。

一、当 $n > m$ 且 $D(s) = 0$ 的根均为单根的情况

设 $D(s) = 0$ 的根为 s_1, s_2, \cdots, s_n 且 $s_1 \neq s_2 \neq \cdots \neq s_n$ ，则有

$$D(s) = (s - s_1)(s - s_2) \cdots (s - s_k) \cdots (s - s_n)$$

$$F(s) = \frac{N(s)}{D(s)} = \frac{N(s)}{(s-s_1)(s-s_2)\cdots(s-s_k)\cdots(s-s_n)}$$

$$= \frac{K_1}{s-s_1} + \frac{K_2}{s-s_2} + \cdots + \frac{K_k}{s-s_k} + \cdots + \frac{K_n}{s-s_n}$$

其中 $K_1, K_2, \cdots, K_k, \cdots, K_n$ 为待定系数。

$$K_k = (s-s_k)F(s)\Big|_{s=s_k} = (s-s_k)\frac{N(s)}{D(s)}\Big|_{s=s_k}$$

➤ 在确定了每个部分分式的系数后，就可以逐项求解拉普拉斯反变换。

因为 $L.T.\left\{\frac{K_k}{s-s_k}\right\} = K_k e^{s_k t} \varepsilon(t)$ ，故有

$$f(t) = I.L.T.\{F(s)\} = I.L.T.\left\{\sum_{k=1}^n \frac{K_k}{s-s_k}\right\} = \sum_{k=1}^n I.L.T.\left\{\frac{K_k}{s-s_k}\right\} = \sum_{k=1}^n K_k e^{s_k t} \varepsilon(t)$$

例： $F(s) = \frac{4s^2+13s+11}{2s^2+6s+4}$ ，求其拉普拉斯反变换 $f(t)$ 。

解：将 $F(s)$ 化简为真分式

$$\begin{aligned} F(s) &= \frac{4s^2 + 13s + 11}{2s^2 + 6s + 4} = \frac{4(s^2 + 3s + 2) + (s + 3)}{2(s^2 + 3s + 2)} \\ &= 2 + \frac{1}{2} \cdot \frac{s + 3}{(s + 1)(s + 2)} = 2 + \frac{1}{2} \cdot \left(\frac{K_1}{s + 1} + \frac{K_2}{s + 2} \right) \end{aligned}$$

求待定系数 K_1 和 K_2

$$K_1 = (s + 1) \cdot \frac{s + 3}{(s + 1)(s + 2)} \Big|_{s=-1} = 2, \quad K_2 = (s + 2) \cdot \frac{s + 3}{(s + 1)(s + 2)} \Big|_{s=-2} = -1$$

则 $F(s)$ 可展开为

$$F(s) = 2 + \frac{1}{2} \cdot \left(\frac{2}{s + 1} + \frac{-1}{s + 2} \right) = 2 + \frac{1}{s + 1} + \frac{-\frac{1}{2}}{s + 2}$$

故其拉普拉斯反变换为

$$f(t) = I.L.T.\{F(s)\} = 2\delta(t) + e^{-t}\varepsilon(t) - \frac{1}{2}e^{-2t}\varepsilon(t)$$

二、当 $n > m$ 且 $D(s) = 0$ 的根有 p 阶重根的情况

设 s_1 是 $D(s) = 0$ 的 p 阶重根，其余均为单根，则有

$$D(s) = (s - s_1)^p (s - s_{p+1}) \cdots (s - s_k) \cdots (s - s_n)$$

$$F(s) = \frac{N(s)}{D(s)} = \frac{K_{1p}}{(s - s_1)^p} + \frac{K_{1(p-1)}}{(s - s_1)^{(p-1)}} + \cdots + \frac{K_{12}}{(s - s_1)^2} + \frac{K_{11}}{s - s_1} \\ + \frac{K_{p+1}}{s - s_{p+1}} + \cdots + \frac{K_k}{s - s_k} + \cdots + \frac{K_n}{s - s_n}$$

其中待定系数 K_{p+1}, \cdots, K_n 的求解方法不变。

$$K_k = (s - s_k) \frac{N(s)}{D(s)} \Big|_{s=s_k}$$

$$F(s) = \frac{N(s)}{D(s)} = \frac{K_{1p}}{(s-s_1)^p} + \frac{K_{1(p-1)}}{(s-s_1)^{(p-1)}} + \cdots + \frac{K_{12}}{(s-s_1)^2} + \frac{K_{11}}{s-s_1} + \frac{K_{p+1}}{s-s_{p+1}} + \cdots + \frac{K_k}{s-s_k} + \cdots + \frac{K_n}{s-s_n}$$

求解待定系数 K_{1p}

方程两边同乘 $(s-s_1)^p$ 得

$$(s-s_1)^p \frac{N(s)}{D(s)} = K_{1p} + (s-s_1)K_{1(p-1)} + \cdots + (s-s_1)^{p-2}K_{12} + (s-s_1)^{p-1}K_{11} \\ + (s-s_1)^p \left(\frac{K_{p+1}}{s-s_{p+1}} + \cdots + \frac{K_k}{s-s_k} + \cdots + \frac{K_n}{s-s_n} \right)$$

$$\text{故 } K_{1p} = (s-s_1)^p \frac{N(s)}{D(s)} \Big|_{s=s_1}$$

求解待定系数 $K_{1(p-1)}$ ，上式两边对 s 取微分得

$$\frac{d}{ds} \left[(s-s_1)^p \frac{N(s)}{D(s)} \right] = K_{1(p-1)} + 2(s-s_1)K_{1(p-2)} + \cdots + (p-1)(s-s_1)^{p-2}K_{11} \\ + \frac{d}{ds} \left[(s-s_1)^p \left(\frac{K_{p+1}}{s-s_{p+1}} + \cdots + \frac{K_k}{s-s_k} + \cdots + \frac{K_n}{s-s_n} \right) \right]$$

$$\text{故 } K_{1(p-1)} = \frac{d}{ds} \left[(s-s_1)^p \frac{N(s)}{D(s)} \right] \Big|_{s=s_1}$$

例： $F(s) = \frac{s+4}{s(s+2)(s+1)^2}$ ，求其拉普拉斯反变换 $f(t)$ 。

解： $D(s) = s(s+2)(s+1)^2 = 0$ 的根为 $s_1 = 0$, $s_2 = -2$, $s_3 = -1$ (二阶重根)

则 $F(s)$ 可展开为 $F(s) = \frac{K_1}{s} + \frac{K_2}{s+2} + \frac{K_{32}}{(s+1)^2} + \frac{K_{31}}{s+1}$

求待定系数

$$K_1 = s \cdot \frac{N(s)}{D(s)} \Big|_{s=0} = \frac{s+4}{(s+2)(s+1)^2} \Big|_{s=0} = 2$$

$$K_2 = (s+2) \cdot \frac{N(s)}{D(s)} \Big|_{s=-2} = \frac{s+4}{s(s+1)^2} \Big|_{s=-2} = -1$$

$$K_{32} = (s+1)^2 \cdot \frac{N(s)}{D(s)} \Big|_{s=-1} = \frac{s+4}{s(s+2)} \Big|_{s=-1} = -3$$

$$\begin{aligned} K_{31} &= \frac{d}{ds} \left[(s+1)^2 \cdot \frac{N(s)}{D(s)} \right] \Big|_{s=-1} = \frac{d}{ds} \left[\frac{s+4}{s(s+2)} \right] \Big|_{s=-1} \\ &= \frac{s(s+2) - (2s+2)(s+4)}{s^2(s+2)^2} \Big|_{s=-1} = -1 \end{aligned}$$

故 $F(s)$ 可展开为 $F(s) = \frac{2}{s} + \frac{-1}{s+2} + \frac{-3}{(s+1)^2} + \frac{-1}{s+1}$

其拉普拉斯反变换为

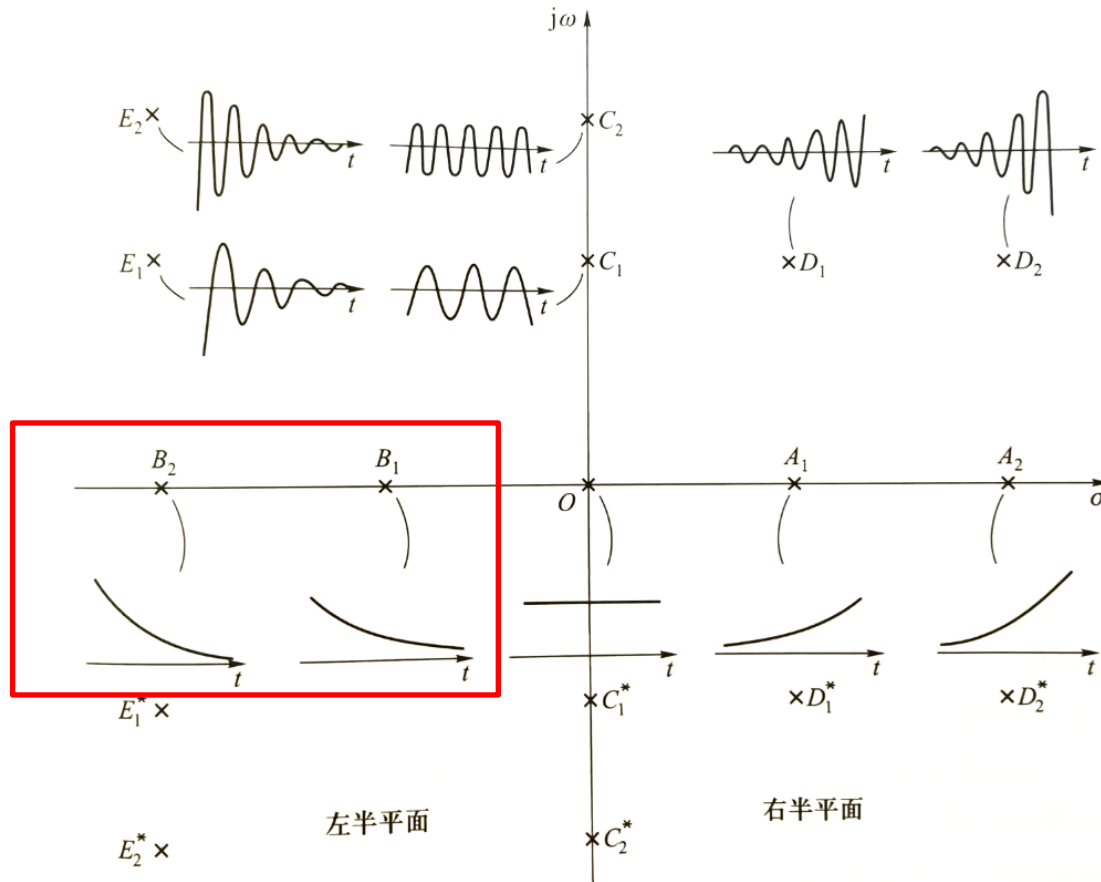
$$\begin{aligned} f(t) &= I.L.T.\{F(s)\} = 2\varepsilon(t) - e^{-2t}\varepsilon(t) - 3te^{-t}\varepsilon(t) - e^{-t}\varepsilon(t) \\ &= (2 - e^{-2t} - 3te^{-t} - e^{-t}) \varepsilon(t) \\ &= [2 - e^{-2t} - (3t + 1)e^{-t}] \varepsilon(t) \end{aligned}$$

三、零极点分布图

- 拉普拉斯**正变换**将时域函数 $f(t)$ 变换为复频域函数 $F(s)$ ，拉普拉斯**反变换**将复频域函数 $F(s)$ 变换为时域函数 $f(t)$ 。
- $f(t)$ 和 $F(s)$ 是**同一个信号在不同域内**的表现形式，两者有一定的对应关系。
- 复频域函数 $F(s)$ 的性质是由其零极点决定的。
 - 零点 (Zero)**：使 $F(s) = \frac{N(s)}{D(s)} = 0$ ，即 $N(s) = 0$ 的 s_z 的取值
 - 极点 (Pole)**：使 $F(s) = \frac{N(s)}{D(s)} = \infty$ ，即 $D(s) = 0$ 的 s_p 的取值

- 将函数 $F(s)$ 的所有零点(○)和极点(×)画在 s 平面上, 就得到 $F(s)$ 的**零极图/极零图**。
- 零点的分布只影响 $f(t)$ 分量的幅度和相位大小, 但**极点的分布**影响 $f(t)$ 分量的**时间模式**。
- 零点、极点与收敛域的关系: 当 s 在收敛域内取值时, 得到的 $F(s)$ 一定是一个有限值, 不能是无穷大。
- 这说明收敛域内**不能有极点**, **可以有零点**。或者说极点一定在收敛域以外, 或者在收敛轴上。

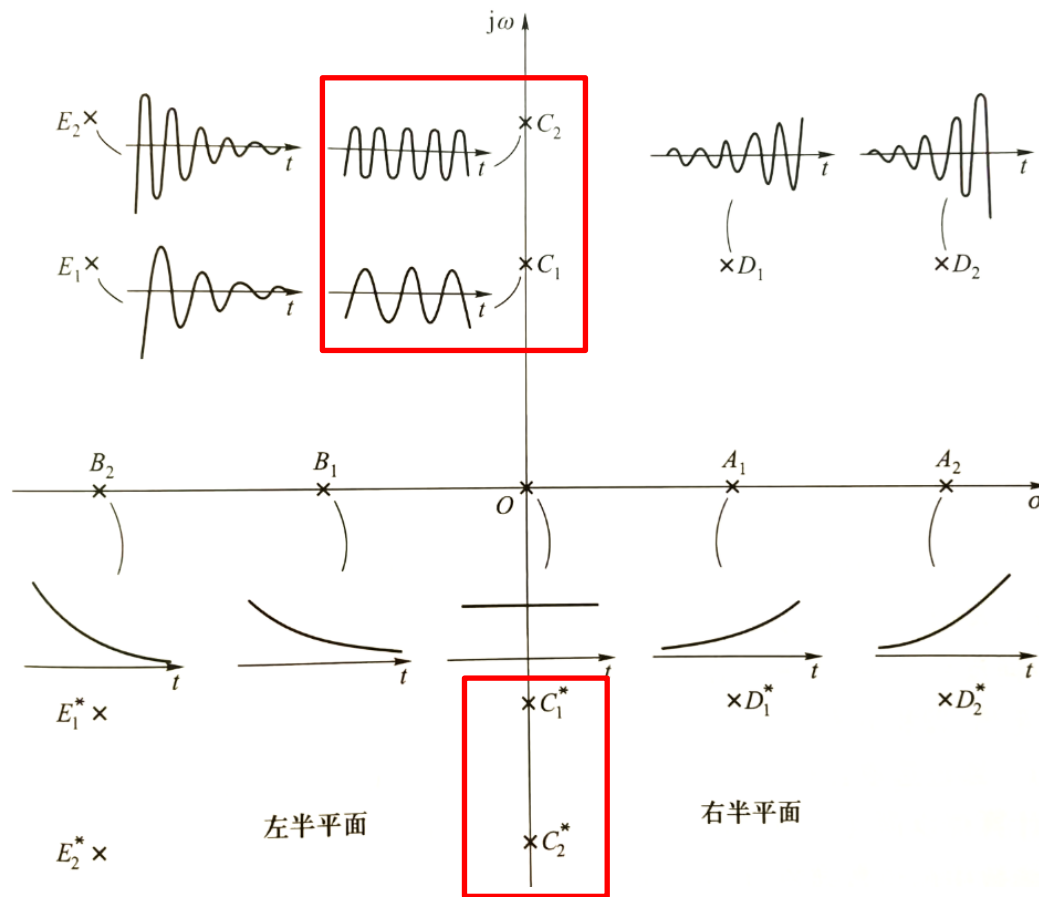
1. 负实轴上的极点：



一阶极点 $\frac{k}{s-\alpha}$ ($\alpha < 0$) 对应 $e^{\alpha t} \varepsilon(t)$ 指数衰减的时间模式

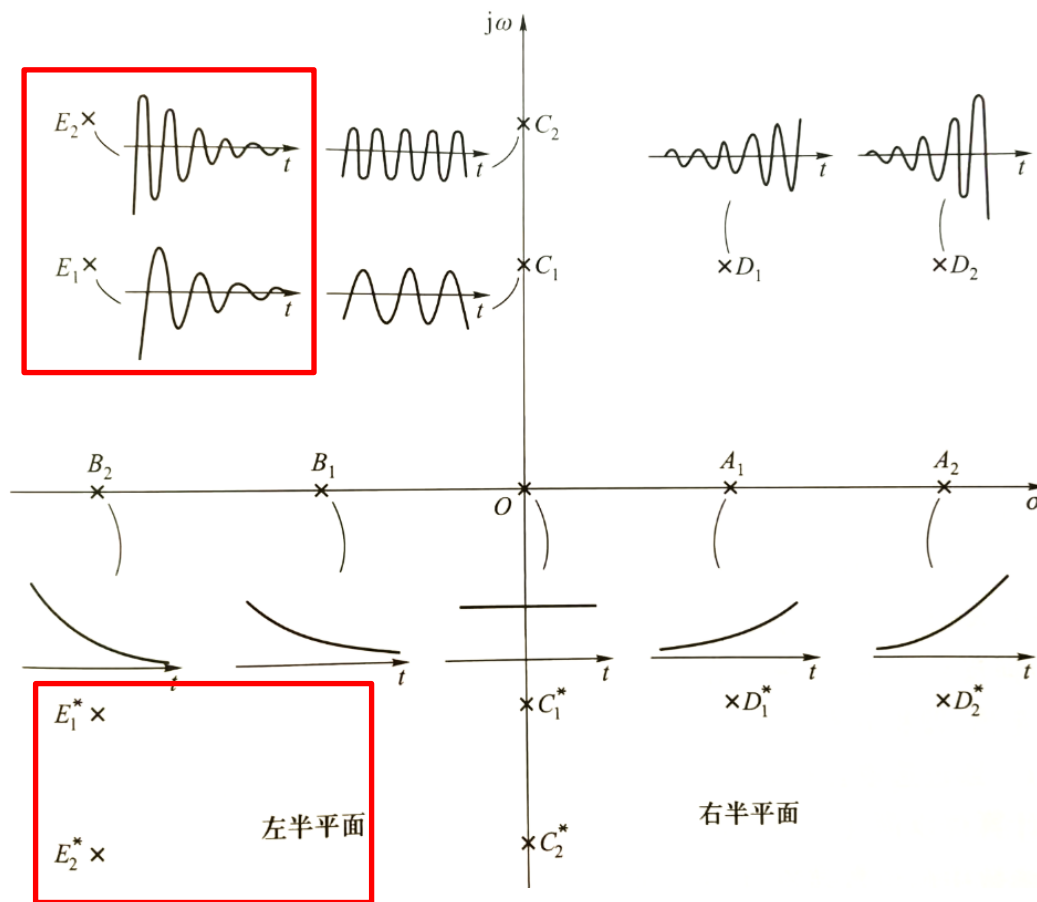
二阶极点 $\frac{k}{(s-\alpha)^2}$ ($\alpha < 0$) 对应 $t e^{\alpha t} \varepsilon(t)$ 先增加后衰减的时间模式

2. 虚轴上的共轭极点:



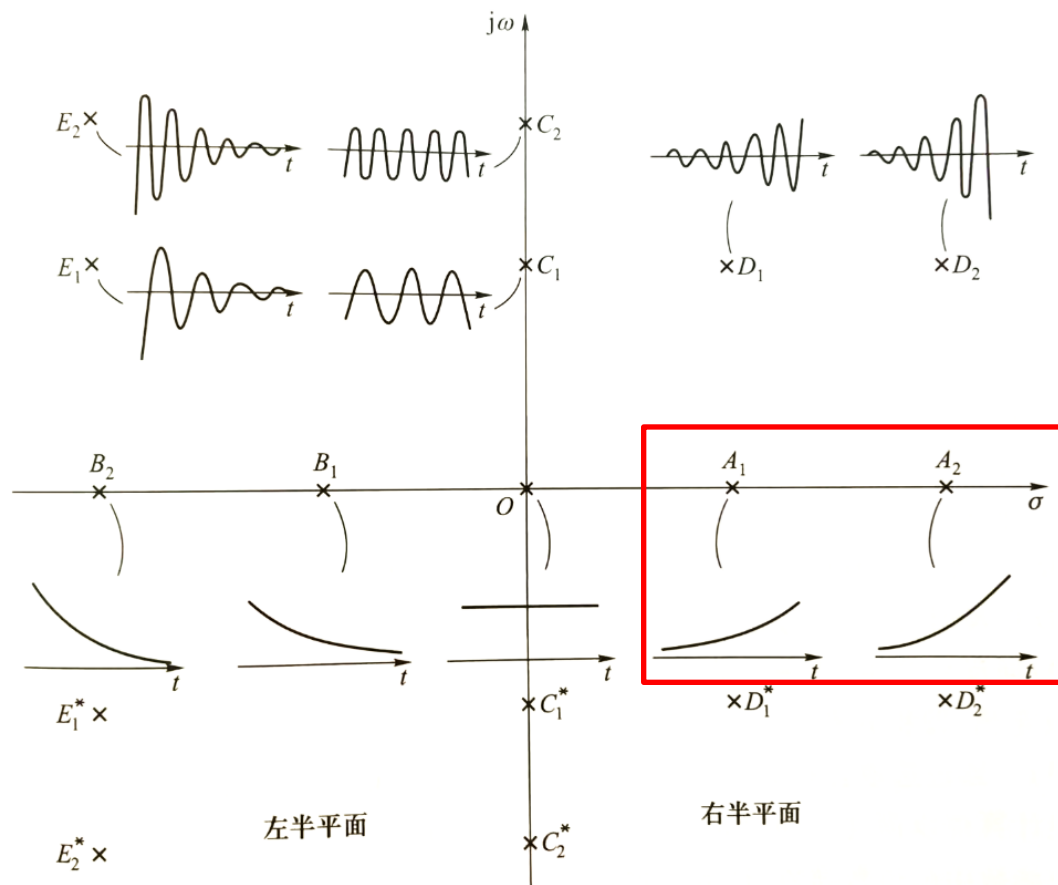
共轭极点 $\frac{k}{s^2 + \omega^2}$ 对应 $\sin \omega t \varepsilon(t)$ 或 $\cos \omega t \varepsilon(t)$ 等幅振荡的时间模式

3. 左半平面内的共轭极点：



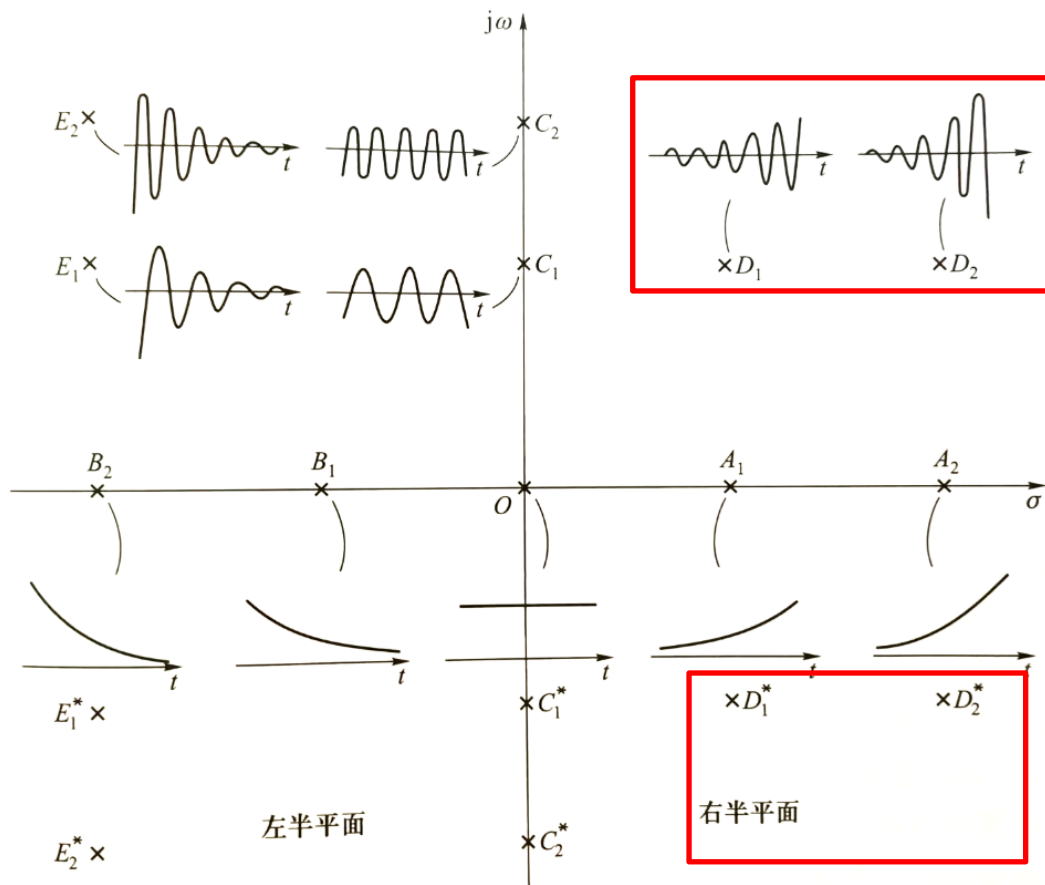
共轭极点 $\frac{k}{(s-\alpha)^2 + \omega^2}$ ($\alpha < 0$) 对应 $e^{\alpha t} \sin \omega t \varepsilon(t)$ 或 $e^{\alpha t} \cos \omega t \varepsilon(t)$
 衰减振荡的时间模式

4. 正实轴上的极点：



极点 $\frac{k}{s-\alpha}$ ($\alpha > 0$) 对应 $e^{\alpha t} \varepsilon(t)$ 指数增加(发散)的时间模式

5. 右半平面内的共轭极点：



共轭极点 $\frac{k}{(s-\alpha)^2 + \omega^2}$ ($\alpha > 0$) 对应 $e^{\alpha t} \sin \omega t \varepsilon(t)$ 或 $e^{\alpha t} \cos \omega t \varepsilon(t)$
 增幅振荡(发散)的时间模式

例： $F(s) = \frac{3(s+2)(s+4)}{s(s^2+9)(s+5)}$ ，求其零点和极点，并画出其零极图。

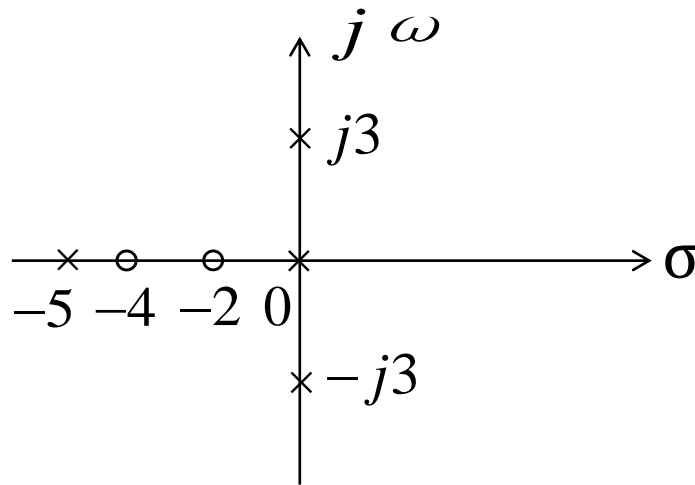
解： $F(s) = \frac{N(s)}{D(s)} = \frac{3(s+2)(s+4)}{s(s^2+9)(s+5)}$

求其零点 $N(s) = 3(s+2)(s+4) = 0$ 可得 $s_{z1} = -2, s_{z2} = -4$

求其极点 $D(s) = s(s^2+9)(s+5) = 0$

可得 $s_{p1} = 0, s_{p2} = j3, s_{p3} = -j3, s_{p4} = -5$

故 $F(s)$ 的零极图为



§ 5.6 拉普拉斯变换的基本性质

一、线性特性

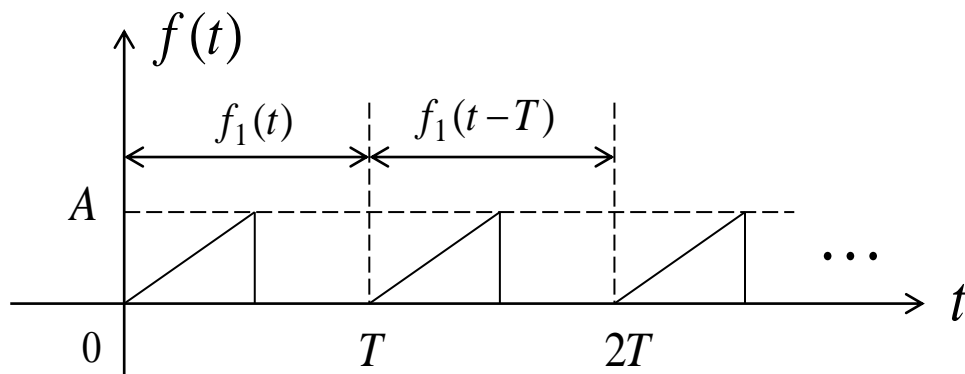
若 $f_1(t) \leftrightarrow F_1(s)$, $f_2(t) \leftrightarrow F_2(s)$, 且 a_1, a_2 为常数, 则

$$a_1 f_1(t) + a_2 f_2(t) \leftrightarrow a_1 F_1(s) + a_2 F_2(s)$$

二、时域平移/延时特性

若有始信号 $f(t) \leftrightarrow F(s)$, 且 $t_0 > 0$,
则 $f(t - t_0) \leftrightarrow F(s)e^{-st_0}$

讨论：单边周期信号的拉普拉斯变换。设 $f(t)$ 为单边周期信号，即 $t < 0, f(t) = 0$ ； $t > 0, f(t)$ 呈现周期性变化且周期为 T 。



$$f(t) = f_1(t)\varepsilon(t) + f_1(t-T)\varepsilon(t-T) + f_1(t-2T)\varepsilon(t-2T) + \dots = \sum_{n=0}^{\infty} f_1(t-nT)\varepsilon(t-nT)$$

故单边周期信号的拉普拉斯变换为

$$\begin{aligned} F(s) &= L.T.\{f(t)\} = F_1(s) + F_1(s)e^{-sT} + F_1(s)e^{-s2T} + \dots \\ &= F_1(s)(1 + e^{-sT} + e^{-s2T} + \dots) \\ &= F_1(s) \frac{1 \cdot (1 - e^{-snT})}{1 - e^{-sT}} = \frac{F_1(s)}{1 - e^{-sT}} \end{aligned}$$

三、频域平移/移频特性

若 $f(t) \leftrightarrow F(s)$ ，则 $f(t)e^{s_0 t} \leftrightarrow F(s - s_0)$

例如：

$$(1) \varepsilon(t) \leftrightarrow \frac{1}{s}, \text{ 则 } e^{-\alpha t} \varepsilon(t) \leftrightarrow \frac{1}{s+\alpha}$$

$$(2) t\varepsilon(t) \leftrightarrow \frac{1}{s^2}, \text{ 则 } e^{-\alpha t} t\varepsilon(t) \leftrightarrow \frac{1}{(s+\alpha)^2}$$

$$(3) \cos \omega t \varepsilon(t) \leftrightarrow \frac{s}{s^2+\omega^2}, \text{ 则 } e^{-\alpha t} \cos \omega t \varepsilon(t) \leftrightarrow \frac{s+\alpha}{(s+\alpha)^2+\omega^2}$$

$$(4) \sin \omega t \varepsilon(t) \leftrightarrow \frac{\omega}{s^2+\omega^2}, \text{ 则 } e^{-\alpha t} \sin \omega t \varepsilon(t) \leftrightarrow \frac{\omega}{(s+\alpha)^2+\omega^2}$$

四、尺度变换特性

若 $f(t) \leftrightarrow F(s)$ ，且 $a > 0$ ，则 $f(at) \leftrightarrow \frac{1}{a} F\left(\frac{s}{a}\right)$

五、时域微分特性

若 $f(t) \leftrightarrow F(s)$ ，则 $\frac{df(t)}{dt} \leftrightarrow sF(s) - f(0^-)$

$$\frac{d^2f(t)}{dt^2} \leftrightarrow s^2F(s) - sf(0^-) - f'(0^-)$$

$$\frac{d^nf(t)}{dt^n} \leftrightarrow s^nF(s) - s^{n-1}f(0^-) - s^{n-2}f'(0^-) - s^{n-3}f''(0^-) - \dots - f^{(n-1)}(0^-)$$

六、时域积分特性

若 $f(t) \leftrightarrow F(s)$ ，则 $\int_{0^-}^t f(\tau)d\tau \leftrightarrow \frac{1}{s}F(s)$

$$\int_{-\infty}^t f(\tau)d\tau \leftrightarrow \frac{\int_{-\infty}^{0^-} f(\tau)d\tau}{s} + \frac{1}{s}F(s)$$

七、复频域微分特性

若 $f(t) \leftrightarrow F(s)$ ，则 $tf(t) \leftrightarrow -\frac{dF(s)}{ds}$

八、复频域积分特性

若 $f(t) \leftrightarrow F(s)$ ，则 $\frac{f(t)}{t} \leftrightarrow \int_s^\infty F(x)dx$

九、参变量的微分与积分特性

若 $f(t, a) \leftrightarrow F(s, a)$ ，则 $\frac{\partial f(t, a)}{\partial a} \leftrightarrow \frac{\partial F(s, a)}{\partial a}$

若 $f(t, a) \leftrightarrow F(s, a)$ ，则 $\int_{a_1}^{a_2} f(t, a)da \leftrightarrow \int_{a_1}^{a_2} F(s, a)da$

十、卷积定理

若 $f_1(t) \leftrightarrow F_1(s)$, $f_2(t) \leftrightarrow F_2(s)$ ，则

$$f_1(t) * f_2(t) \leftrightarrow F_1(s)F_2(s), \quad f_1(t)f_2(t) \leftrightarrow \frac{1}{2\pi j} [F_1(s) * F_2(s)]$$

§ 5.7 线性系统的拉普拉斯变换分析法

一、运用拉普拉斯变换求系统的零状态响应

已知系统的零状态响应是激励信号与单位冲激响应的卷积，即

$$r_{zs}(t) = e(t) * h(t)$$

若响应信号 $r_{zs}(t)$ 和激励信号 $e(t)$ 的拉普拉斯变换分别为 $R_{zs}(s)$ 和 $E(s)$ ，则根据**卷积定理**有

$$R_{zs}(s) = E(s)H(s), \quad H(s) = \frac{R_{zs}(s)}{E(s)}$$

$H(s)$ 称为 s 域内的**系统函数** (System function) 或**转移函数** (Transfer function)，反映了系统零状态响应与激励之间的关系。

➤ 系统对任意激励信号零状态响应的**求解步骤**:

- (1) 求激励信号的**拉普拉斯变换** $E(s)$;
- (2) 求**系统函数** $H(s)$;
- (3) 计算**响应的拉普拉斯变换** $R_{zs}(s) = E(s)H(s)$;
- (4) 通过**拉普拉斯反变换**求时域响应 $r_{zs}(t) = I.L.T.\{R_{zs}(s)\}$ 。

➤ 求解 $H(s)$ 的方法:

- (1) 运用**单位冲激响应**的拉普拉斯变换: $H(s) = \int_{-\infty}^{\infty} h(t)e^{-st} dt$
- (2) 在电路结构上运用**欧姆定律**: 当 $E(s) = 1$ 时, $R_{zs}(s) = H(s)$

电阻: $u_R(t) = Ri_R(t) \rightarrow U_R(s) = RI_R(s)$ 复频域阻抗为 **R**

电容 (无初始电压): $i_C(t) = C \frac{du_C(t)}{dt} \rightarrow U_C(s) = \frac{1}{sC} I_C(s)$ 复频域阻抗为 **$\frac{1}{sC}$**

电感 (无初始电流): $u_L(t) = L \frac{di_L(t)}{dt} \rightarrow U_L(s) = sLI_L(s)$ 复频域阻抗为 **sL**

(3) 通过系统的微分方程求解：

对于一个二阶系统，其零状态的微分方程为

$$\frac{d^2 r_{zs}(t)}{dt^2} + a_1 \frac{dr_{zs}(t)}{dt} + a_0 r_{zs}(t) = b_1 \frac{de(t)}{dt} + b_0 e(t)$$

方程两边同时求拉普拉斯变换，可得：

$$s^2 R_{zs}(s) + a_1 s R_{zs}(s) + a_0 R_{zs}(s) = b_1 s E(s) + b_0 E(s)$$

整理上式可得

$$H(s) = \frac{R_{zs}(s)}{E(s)} = \frac{b_1 s + b_0}{s^2 + a_1 s + a_0}$$

由此推广到n阶系统：

$$H(s) = \frac{b_m s^m + b_{m-1} s^{m-1} + \cdots + b_1 s + b_0}{s^n + a_{n-1} s^{n-1} + \cdots + a_1 s + a_0}$$

也就是将转移算子 $H(p)$ 中的微分算子 p 全部改成 s 。

例：已知电路如图所示， $e_1(t) = 3e^{-t}\varepsilon(t)$ ，元件参数为 $C = 1F$ ， $L = \frac{1}{2}H$ ， $R_1 = \frac{1}{5}\Omega$ ， $R_2 = 1\Omega$ ，求零状态响应电流 $i_2(t)$ 。

解：(1) 求激励信号的拉普拉斯变换，即

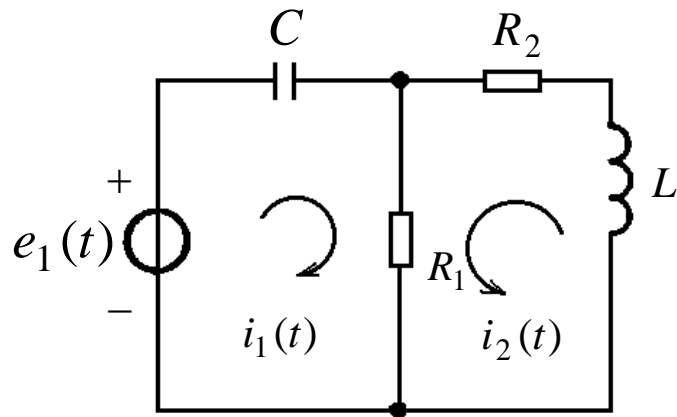
$$E(s) = L.T.\{3e^{-t}\varepsilon(t)\} = \frac{3}{s+1}$$

(2) 求系统函数，根据电路可得

$$\begin{aligned} H(s) &= -\frac{R_1 \parallel (R_2 + Ls)}{\frac{1}{Cs} + R_1 \parallel (R_2 + Ls)} \cdot \frac{1}{R_2 + Ls} \\ &= \frac{-R_1 Cs}{LCR_1 s^2 + (L + CR_1 R_2)s + R_1 + R_2} \end{aligned}$$

代入元件参数，可得

$$H(s) = \frac{-2s}{s^2 + 7s + 12}$$



(3) 计算响应的拉普拉斯变换，即

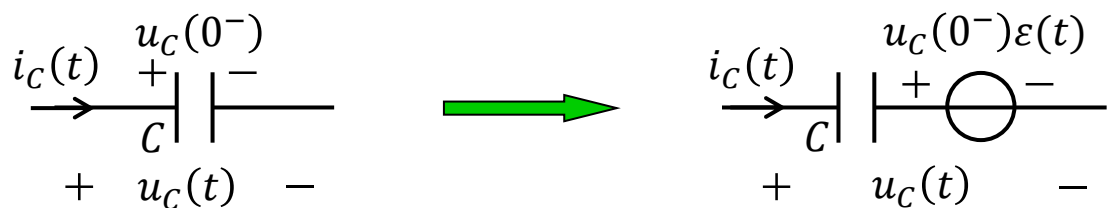
$$\begin{aligned} I_2(s) &= E(s)H(s) = \frac{3}{s+1} \cdot \frac{-2s}{s^2+7s+12} \\ &= \frac{-6s}{(s+1)(s+3)(s+4)} \\ &= \frac{1}{s+1} + \frac{-9}{s+3} + \frac{8}{s+4} \end{aligned}$$

(4) 通过拉普拉斯反变换求时域响应，即

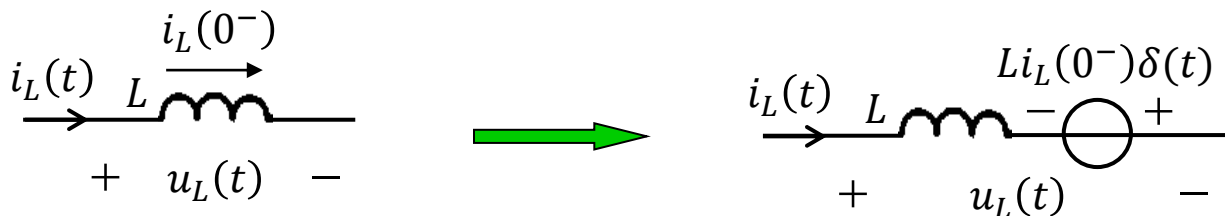
$$\begin{aligned} i_2(t) &= I.L.T.\{I_2(s)\} = e^{-t}\varepsilon(t) - 9e^{-3t}\varepsilon(t) + 8e^{-4t}\varepsilon(t) \\ &= (e^{-t} - 9e^{-3t} + 8e^{-4t})\varepsilon(t) \end{aligned}$$

二、运用等效激励源法求系统的零输入响应

电容(有初始电压) : $i_C(t) = C \frac{du_C(t)}{dt} \rightarrow U_C(s) = \frac{1}{sC} I_C(s) + \frac{1}{s} u_C(0^-)$



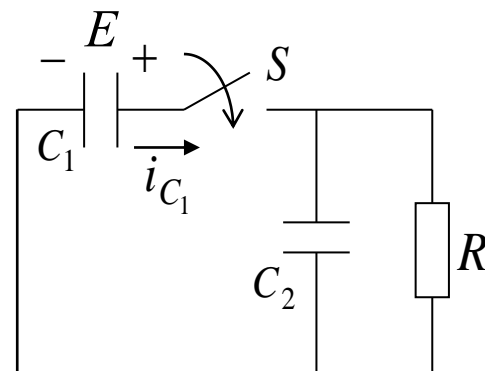
电感(有初始电流) : $u_L(t) = L \frac{di_L(t)}{dt} \rightarrow U_L(s) = sL I_L(s) - L i_L(0^-)$



利用求解零状态响应的方法，求出在**等效激励源**作用下系统的响应，即为系统的**零输入响应**。

例：已知电路如图所示，元件参数为 $C_1 = 1F, C_2 = 2F, R = 3\Omega$ ，初始条件为 $u_{C_1}(0^-) = E$ ，方向如图。若开关S在 $t = 0$ 时闭合，求通过电容 C_1 的响应电流 $i_{C_1}(t)$ 。

解：将电容 C_1 两端的初始电压等效为一个激励源，等效电路如下图所示。

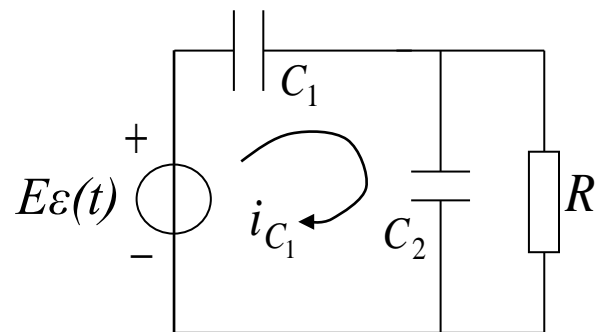


(1) 求等效激励信号的拉普拉斯变换，即

$$E(s) = L.T.\{E\varepsilon(t)\} = \frac{E}{s}$$

(2) 求等效电路的系统函数，即

$$H(s) = \frac{1}{\frac{1}{C_1 s} + \frac{1}{C_2 s} \parallel R} = \frac{C_1 C_2 R s^2 + C_1 s}{(C_1 R + C_2 R)s + 1}$$



代入元件参数，可得

$$H(s) = \frac{6s^2 + s}{9s + 1}$$

(3) 计算响应的拉普拉斯变换，即

$$\begin{aligned} I_{C1}(s) &= E(s)H(s) = \frac{E}{s} \cdot \frac{6s^2 + s}{9s + 1} = E \cdot \frac{\frac{6}{9}s + \frac{1}{9}}{s + \frac{1}{9}} \\ &= E \cdot \frac{\frac{6}{9}\left(s + \frac{1}{9}\right) + \frac{3}{81}}{s + \frac{1}{9}} \\ &= \frac{2E}{3} + \frac{\frac{E}{27}}{s + \frac{1}{9}} \end{aligned}$$

(4) 通过拉普拉斯反变换求时域响应，即

$$i_{C1}(t) = I.L.T.\{I_{C1}(s)\} = \frac{2E}{3}\delta(t) + \frac{E}{27}e^{-\frac{t}{9}}\varepsilon(t) = \frac{2E}{3}\left[\delta(t) + \frac{1}{18}e^{-\frac{t}{9}}\varepsilon(t)\right]$$

三、运用时域法求系统的零输入响应，运用拉普拉斯变换求系统的零状态响应

例：已知线性系统的转移函数 $H(s) = \frac{s+5}{s^2+5s+6}$ ，初始条件 $r_{zi}(0) = 2, r'_{zi}(0) = 1$ ，当激励信号 $e(t) = e^{-t}\varepsilon(t)$ 时，求系统的全响应 $r(t)$ 。

解：(1) 运用时域法求零输入响应 $r_{zi}(t)$ ：

根据系统的转移函数，知其特征方程为 $p^2 + 5p + 6 = 0$

得特征根为 $\lambda_1 = -2, \lambda_2 = -3$

则零输入响应为 $r_{zi}(t) = c_1 e^{\lambda_1 t} + c_2 e^{\lambda_2 t} = c_1 e^{-2t} + c_2 e^{-3t}$

并且 $r'_{zi}(t) = \lambda_1 c_1 e^{\lambda_1 t} + \lambda_2 c_2 e^{\lambda_2 t} = -2c_1 e^{-2t} - 3c_2 e^{-3t}$

代入初始条件 $\begin{matrix} r_{zi}(0) = c_1 + c_2 = 2 \\ r'_{zi}(0) = -2c_1 - 3c_2 = 1 \end{matrix} \quad \longrightarrow \quad \begin{matrix} c_1 = 7 \\ c_2 = -5 \end{matrix}$

故系统的零输入响应为 $r_{zi}(t) = (7e^{-2t} - 5e^{-3t})\varepsilon(t)$

$$r_{zi}(t) = (7e^{-2t} - 5e^{-3t})\varepsilon(t)$$

(2) 运用拉普拉斯变换求系统的零状态响应 $r_{zs}(t)$:

激励信号的拉普拉斯变换为 $E(s) = L.T.\{e^{-t}\varepsilon(t)\} = \frac{1}{s+1}$

系统的转移函数为 $H(s) = \frac{s+5}{s^2+5s+6}$

响应的拉普拉斯变换为

$$\begin{aligned} R_{zs}(s) &= E(s)H(s) = \frac{1}{s+1} \cdot \frac{s+5}{s^2+5s+6} = \frac{s+5}{(s+1)(s+2)(s+3)} \\ &= \frac{2}{s+1} + \frac{-3}{s+2} + \frac{1}{s+3} \end{aligned}$$

通过拉普拉斯反变换求零状态响应

$$r_{zs}(t) = I.L.T.\{R_{zs}(s)\} = 2e^{-t}\varepsilon(t) - 3e^{-2t}\varepsilon(t) + e^{-3t}\varepsilon(t)$$

故系统的全响应为 $r(t) = r_{zi}(t) + r_{zs}(t)$

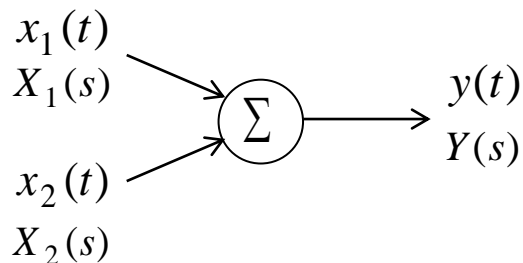
$$= \underline{2e^{-t}\varepsilon(t)} + \underline{4e^{-2t}\varepsilon(t) - 4e^{-3t}\varepsilon(t)}$$

受迫响应分量 自然响应分量

§ 5.8 线性系统的模拟

- 对于一个线性系统，其描述方法包括：微分方程、系统函数、模拟框图等。
- 模拟框图有助于：分析多种输入信号下系统的响应、求解系统的最佳参数、寻找实现某种系统的途径。
- 线性系统的模拟框图有三种基本运算单元：加法器、乘法器、积分器。

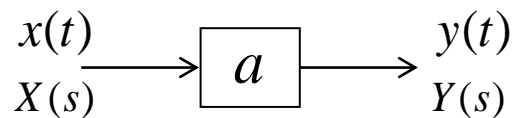
加法器



$$y(t) = x_1(t) + x_2(t)$$

$$Y(s) = X_1(s) + X_2(s)$$

乘法器



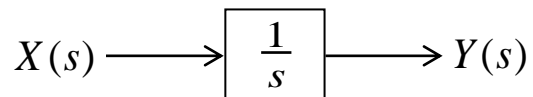
$$y(t) = ax(t)$$

$$Y(s) = aX(s)$$

积分器 (初始条件为0)



$$y(t) = \int_{-\infty}^t x(\tau) d\tau = \int_0^t x(\tau) d\tau$$



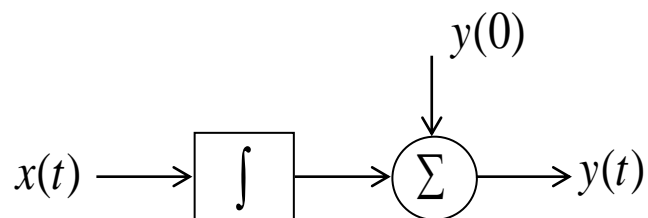
$$Y(s) = \frac{1}{s} X(s)$$

当初始条件不为0时，积分器的表达式为：

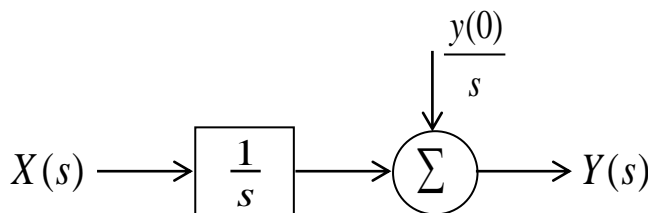
$$y(t) = \int_{-\infty}^t x(\tau) d\tau = \int_{-\infty}^0 x(\tau) d\tau + \int_0^t x(\tau) d\tau = y(0) + \int_0^t x(\tau) d\tau$$

$$Y(s) = L.T. \left\{ \int_{-\infty}^t x(\tau) d\tau \right\} = \frac{\int_{-\infty}^0 x(\tau) d\tau}{s} + \frac{1}{s} X(s) = \frac{y(0)}{s} + \frac{X(s)}{s}$$

积分器 (初始条件不为0)



$$y(t) = y(0) + \int_0^t x(\tau) d\tau$$



$$Y(s) = \frac{y(0)}{s} + \frac{X(s)}{s}$$

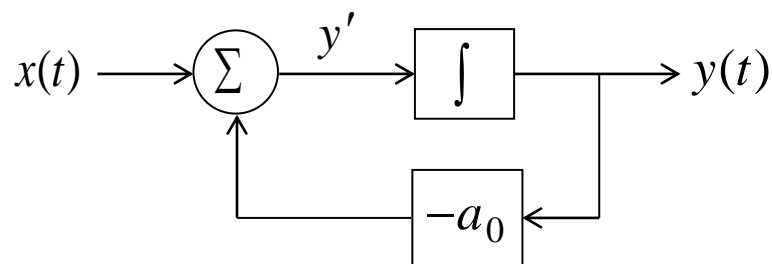
实际工程中，可以**控制电容的初始电压**使系统处于指定的初始状态。故模拟框图中一般将积分器的**初始条件省略**，来简化框图。

一、直接型模拟框图

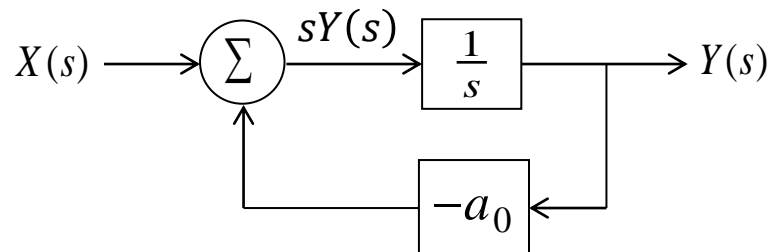
1. 输入函数不包含激励的导数项

一阶系统**时域**模拟框图： $y'(t) + a_0 y(t) = x(t)$

$$y'(t) = x(t) - a_0 y(t)$$



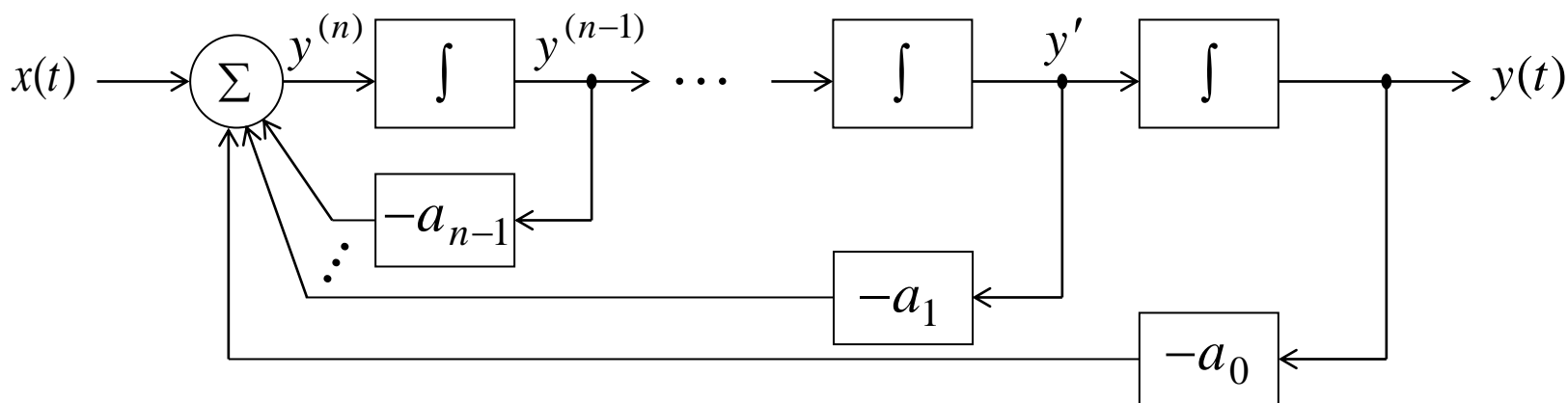
一阶系统**频域**模拟框图： $sY(s) = X(s) - a_0 Y(s)$



由此推广到n阶系统：

$$y^{(n)}(t) + a_{n-1}y^{(n-1)}(t) + \cdots + a_1y'(t) + a_0y(t) = x(t)$$

$$y^{(n)}(t) = x(t) - a_{n-1}y^{(n-1)}(t) - \cdots - a_1y'(t) - a_0y(t)$$



2. 输入函数包含激励的导数项

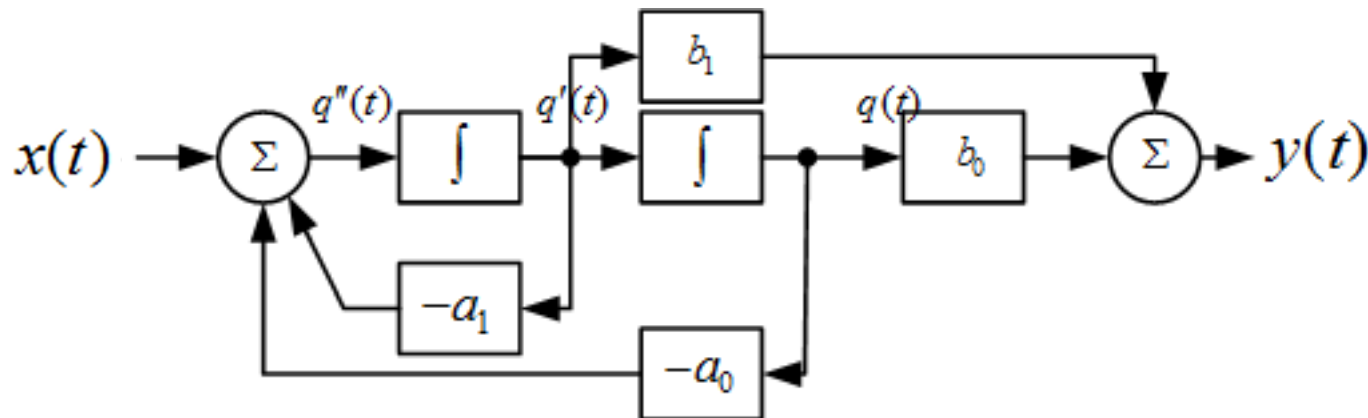
对于一般的二阶系统： $y''(t) + a_1y'(t) + a_0y(t) = b_1x'(t) + b_0x(t)$

引入一个辅助函数 $q(t)$ ，使得其满足

$$q''(t) + a_1q'(t) + a_0q(t) = x(t)$$

$$\begin{aligned} b_1x'(t) + b_0x(t) &= b_1q'''(t) + a_1b_1q''(t) + a_0b_1q'(t) + b_0q''(t) + a_1b_0q'(t) + a_0b_0q(t) \\ &= [b_1q'''(t) + b_0q''(t)] + a_1[b_1q''(t) + b_0q'(t)] + a_0[b_1q'(t) + b_0q(t)] \\ &= y''(t) + a_1y'(t) + a_0y(t) \end{aligned}$$

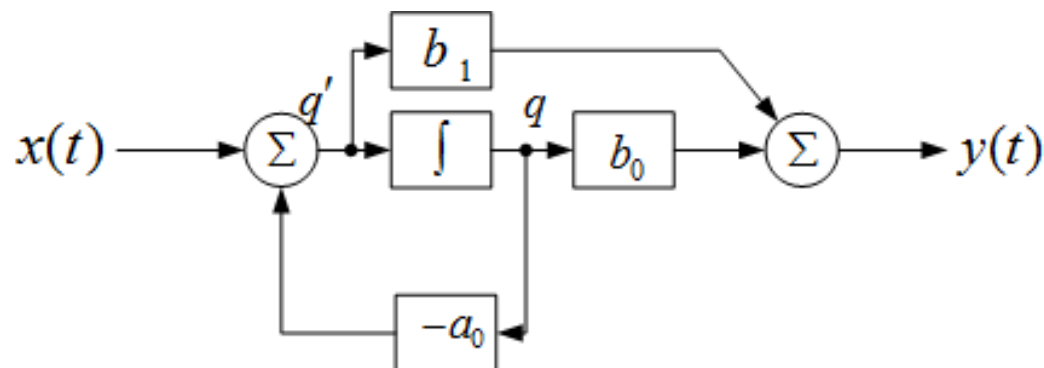
利用方程两边平衡的原则，可得： $y(t) = b_1q'(t) + b_0q(t)$



3. 输入函数与输出函数同阶

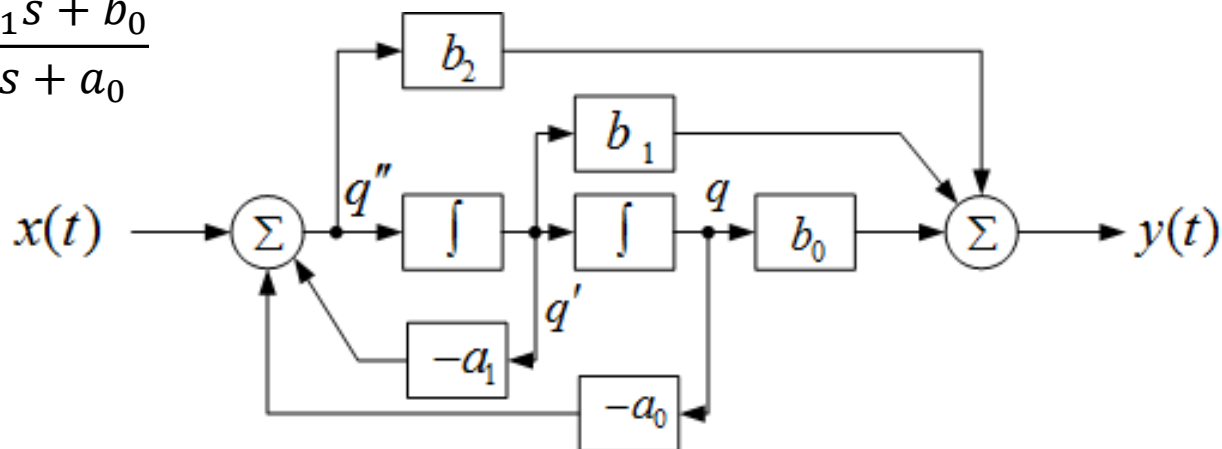
一阶系统： $y'(t) + a_0y(t) = b_1x'(t) + b_0x(t)$

$$H(s) = \frac{b_1s + b_0}{s + a_0}$$

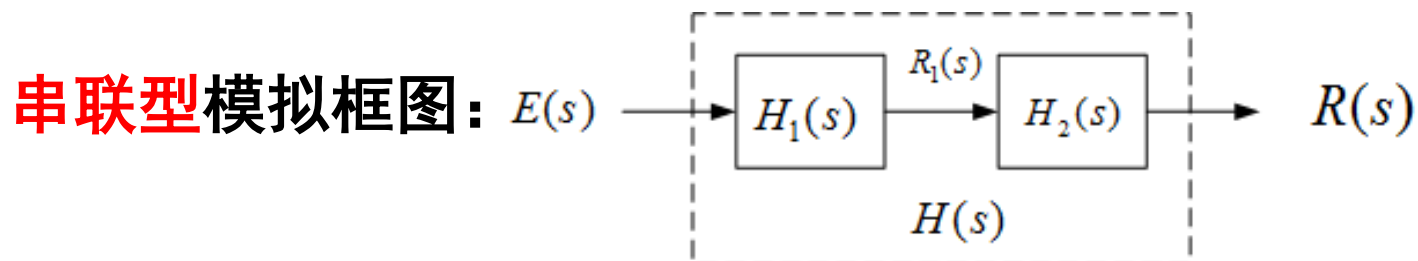


二阶系统： $y''(t) + a_1y'(t) + a_0y(t) = b_2x''(t) + b_1x'(t) + b_0x(t)$

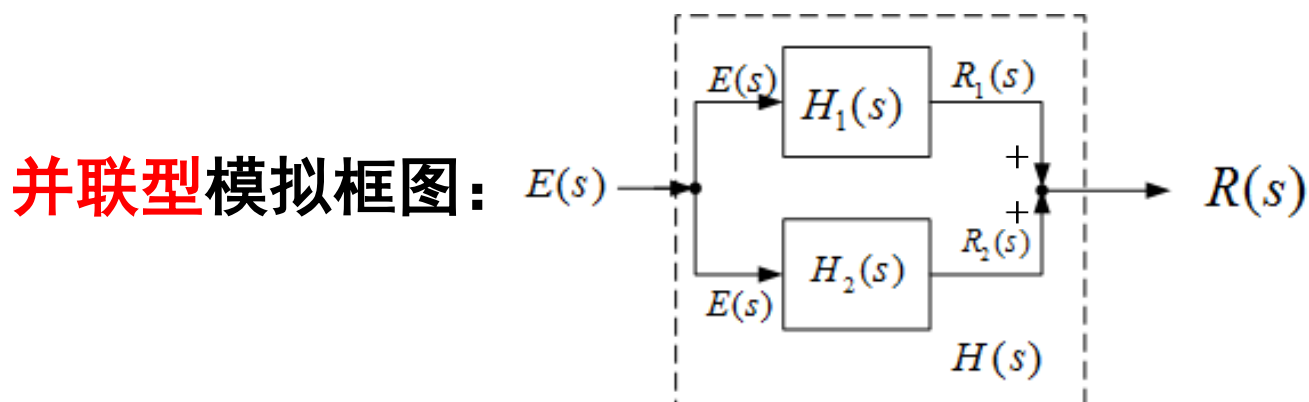
$$H(s) = \frac{b_2s^2 + b_1s + b_0}{s^2 + a_1s + a_0}$$



二、串联(级联)型模拟框图和并联型模拟框图



$$H(s) = \frac{R(s)}{E(s)} = \frac{R_1(s)}{E(s)} \cdot \frac{R(s)}{R_1(s)} = H_1(s) \cdot H_2(s)$$



$$H(s) = \frac{R(s)}{E(s)} = \frac{R_1(s) + R_2(s)}{E(s)} = \frac{R_1(s)}{E(s)} + \frac{R_2(s)}{E(s)} = H_1(s) + H_2(s)$$

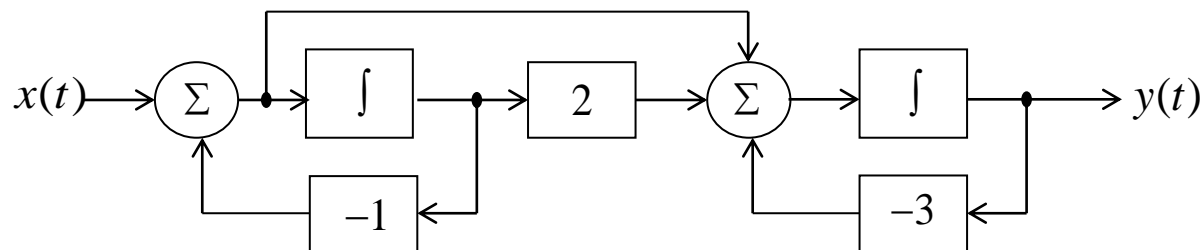
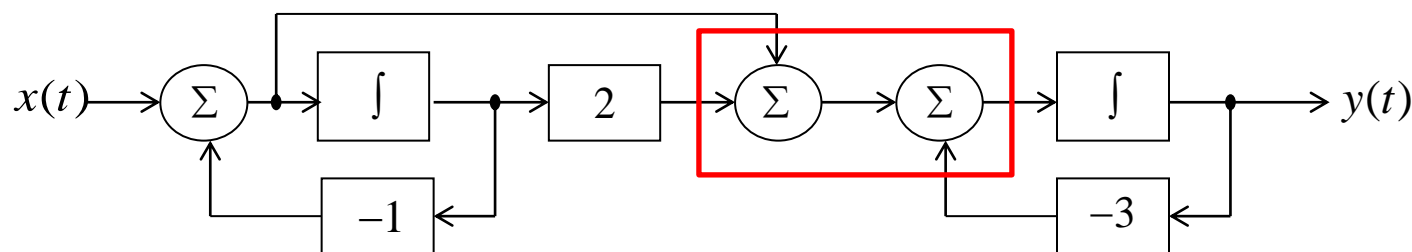
例：已知线性系统的转移函数 $H(s) = \frac{s+2}{s^2+4s+3}$ ，画出其串联型模拟框图和并联型模拟框图。

解：(1) 将系统函数 $H(s)$ 改写成以下形式：

$$H(s) = \frac{s+2}{s^2+4s+3} = \frac{s+2}{(s+1)(s+3)} = \frac{s+2}{s+1} \cdot \frac{1}{s+3} = H_1(s) \cdot H_2(s)$$

即 $H_1(s) = \frac{s+2}{s+1}$ $H_2(s) = \frac{1}{s+3}$

故其串联型模拟框图为

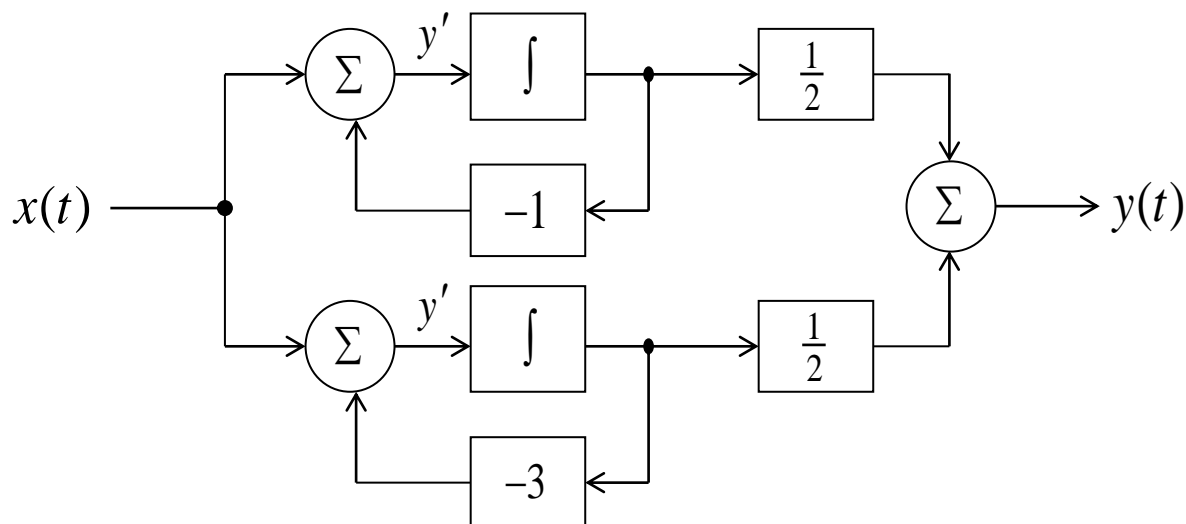


解：(2) 将系统函数 $H(s)$ 改写成以下形式：

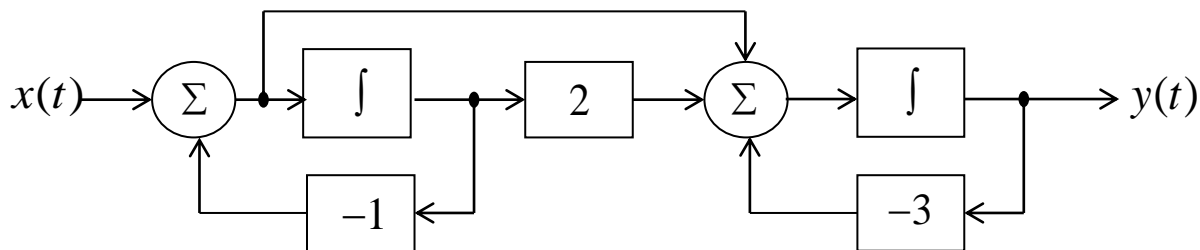
$$H(s) = \frac{s+2}{s^2+4s+3} = \frac{s+2}{(s+1)(s+3)} = \frac{1/2}{s+1} + \frac{1/2}{s+3} = H_1(s) + H_2(s)$$

即 $H_1(s) = \frac{1/2}{s+1}$ $H_2(s) = \frac{1/2}{s+3}$

故其并联型模拟框图为

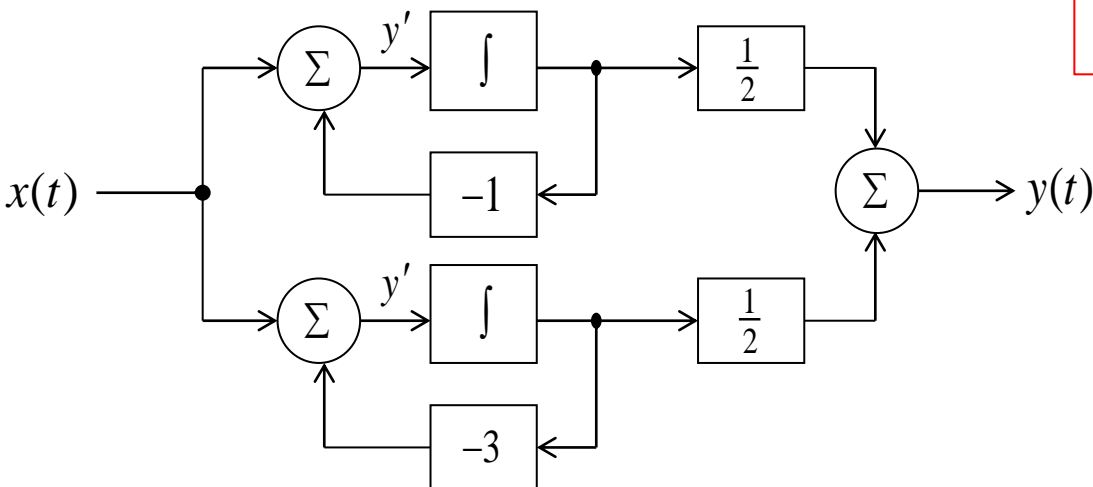


串联型



$$H(s) = \frac{s + 2}{s^2 + 4s + 3}$$

并联型



- **串联型**模拟框图：能同时控制系统的零点和极点，前级系统的误差对后级系统有较大影响。
- **并联型**模拟框图：只能控制系统的极点，不能控制系统的零点，各子系统之间不易受到干扰。

本章小结

基本概念：拉普拉斯变换、复频率、收敛域、零极图、系统函数、等效激励源、系统模拟框图。

基本运算：拉普拉斯正变换和反变换的求解、常见信号的拉普拉斯变换、拉普拉斯变换的性质、连续时间系统的复频域分析方法、线性系统的模拟框图。